

УДК 532.546:515.124

© 1992 г. О. Ю. ДИНАРИЕВ

## ДВИЖЕНИЕ ЖИДКОСТЕЙ И ГАЗОВ В ПОРИСТЫХ СРЕДАХ С ФРАКТАЛЬНОЙ ГЕОМЕТРИЕЙ<sup>1</sup>

Представлен обзор приложений фрактальной геометрии в теории фильтрации жидкостей и газов через пористые материалы.

Последние пять лет ознаменовались бурным развитием приложений теории фракталов — множеств с нецелой пространственной размерностью — в физике, механике, химической кинетике. При этом зачастую расширение сферы приложений значительно опережало прогресс в соответствующих областях математики. По этой причине исследователи, не имея в распоряжении адекватного математического аппарата, получают многие результаты на полуинтуитивном уровне. Такая ситуация обусловлена еще и тем, что в настоящий момент не очерчен до конца круг всех природных явлений, которые можно описывать с помощью фрактальной геометрии, не сформулирован полностью класс соответствующих понятий и не осознан объем всех проблем и задач, которые могут в этой связи возникнуть в математике. Сейчас продолжается процесс накопления общих идей, концепций и подходов. Поэтому возникающие сегодня новые фрактальные модели природных объектов могут завтра породить самостоятельные новые области науки.

1. Фракталы — множества с нецелой размерностью Хаусдорфа — Безиковича — известны в математике давно, однако широкое применение для описания различных природных объектов, явлений и процессов они получили сравнительно недавно и в основном благодаря работам [1—3]. Эти работы очень несложны в плане математического аппарата, но зато содержат большое количество конкретных примеров из географии, биологии, космологии, механики, физики, иллюстрирующих пользу понятия фрактала и фрактальной размерности. Вслед за работами [1—3] появилось огромное множество работ с приложениями теории фракталов в самых разных областях науки, которые сейчас уже трудно перечислить. Хороший обзор положения дел в теории фракталов до 1987 г. содержится в [4].

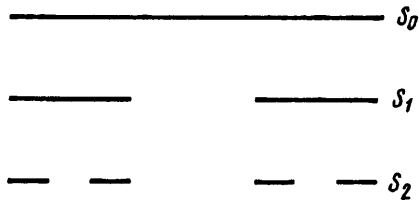
Понятие размерности возникло в топологии, и до недавнего времени под размерностью множества понимали именно его топологическую размерность. Для определения топологической размерности  $d_t$  данного множества достаточно наличия на нем топологии, т. е., например, наличия операции замыкания, удовлетворяющей определенным аксиомам [5]. Топологическая размерность  $d_t$  может принимать только целочисленные значения  $d_t = -1, 0, 1, 2, \dots$ , причем значение  $d_t = -1$  является характеристическим для пустого множества.

Для определения размерности Хаусдорфа — Безиковича необходимо по крайней мере наличие метрической структуры.

Пусть  $S$  — некоторое компактное множество,  $C$  — конечное покрытие множества  $S$  открытыми шарами разных радиусов. Для любого шара  $B \in C$  пусть  $r(B)$  — радиус шара  $B$ . Положим по определению  $r(C) = \max \{r(B) | B \in C\}$ . Далее определим для любого неотрицательного числа  $d$  конечную величину

$$\Sigma(C, d) = \sum_{B \in C} r^d(B) \quad (1.1)$$

<sup>1</sup> По материалам доклада, прочитанного на VII съезде по теоретической и прикладной механике, Москва, август 1991 г. Представлено В. Н. Николаевским.



Фиг. 1

Для любого положительного числа  $\varepsilon$  минимизируем суммы (1.1) по всем покрытиям  $C$ , таким, что  $r(C) \leq \varepsilon$

$$\sigma_d(S, \varepsilon) = \inf \{ \Sigma(C, d) \mid r(C) \leq \varepsilon \}$$

При стремлении  $\varepsilon$  к нулю величина  $\sigma_d(S, \varepsilon)$  в общем случае может стремиться к нулю, к бесконечности или сходиться к конечному ненулевому пределу. Существует некоторое число  $d_H$ , такое, что

$$\lim_{\varepsilon \rightarrow 0} \sigma_d(S, \varepsilon) = 0 \quad (d > d_H), \quad +\infty \quad (d < d_H)$$

Величина  $d_H$  называется размерностью Хаусдорфа — Безиковича множества  $S$  или фрактальной размерностью. Для евклидовых пространств и гладких многообразий  $d_H$  совпадает с обычной топологической размерностью. Однако существует много примеров [1—3], когда размерность Хаусдорфа — Безиковича множества превышает его топологическую размерность. В этом случае множество называют фрактальным множеством или просто фракталом.

Если множество  $S$  вложено в евклидово пространство  $R^D$ , как обычно бывает в приложениях, то используют более грубое «практическое» определение фрактальной размерности

$$d_H = \lim_{\varepsilon \rightarrow 0} \frac{\ln N(\varepsilon)}{\ln(1/\varepsilon)} \quad (1.2)$$

где  $N(\varepsilon)$  — минимальное число  $D$ -кубов с ребром  $\varepsilon$ , которыми можно покрыть множество  $S$ .

В определении фрактальной размерности не предусмотрено, что предел  $\sigma_{d_H}(S, \varepsilon)$  при  $\varepsilon \rightarrow 0$  конечен и отличен от нуля. Если оказывается, что это действительно так, то предельный переход может быть использован для задания на  $S$  меры Хаусдорфа  $\mu_H$  [6]. На основе этой меры по стандартной процедуре [7] может быть развита теория интегрирования на  $S$ . Так, если  $f$  — непрерывная функция на  $S$ , то можно определить интеграл от  $f$  по формуле

$$\int_S f d\mu_H = \lim_{\varepsilon \rightarrow 0} \sum_i f(x_i) \mu_H(S_i), \quad S = \bigcup_i S_i$$

где  $S$  разбивается на конечное число интегрируемых подмножеств  $S_i$  с диаметром, не превышающим  $\varepsilon$ ,  $x_i$  — выбранная произвольным образом точка в  $S_i$ .

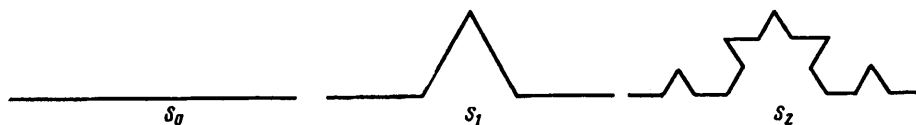
Приведем некоторые простые примеры фрактальных множеств.

*Канторово множество* (см. фиг. 1). Это множество строится посредством следующей рекуррентной процедуры. Пусть  $S_0 = [0, 1]$  — отрезок единичной длины. Вырежем из его середины открытый интервал с длиной  $1/3$ . Получится множество  $S_1 = [0, 1/3] \cup [2/3, 1]$ . На следующем этапе вырезаем интервал длины  $(1/3)^2$  из середин каждого из двух получившихся отрезков и т. д. Получаем убывающую последовательность замкнутых множеств  $S_0 \supset S_1 \supset S_2 \supset \dots$ . Канторово множество  $S$ , по определению, получается как пересечение множеств  $S_n$ . Топологическая размерность этого множества равна нулю. Для определения его фрактальной размерности будем покрывать множество  $S$  отрезками

с переменной длиной  $\varepsilon_n = (\frac{1}{3})^n, n = 0, 1, 2, \dots$ . Тогда очевидно, что  $N(\varepsilon_n) = 2^n$ . Подставляя эти соотношения в (1.2) и устремляя  $n \rightarrow \infty$ , получаем  $d_H = \ln 2 / \ln 3$ . При этом, как легко видеть

$$d_f < d_H < D \quad (D = 1) \quad (1.3)$$

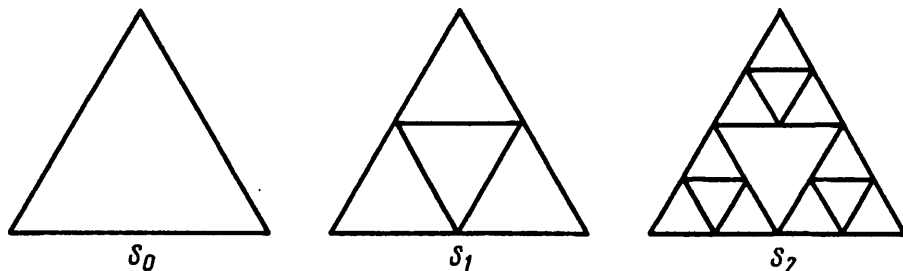
*Кривая Коха* (фиг. 2). Множество строится посредством рекуррентной процедуры на евклидовой плоскости.  $S_0$  — единичный отрезок прямой,  $S_1$  получается в результате вырезания из середины



Фиг. 2

$S_0$  открытого интервала с длиной  $1/3$  и приклеивания вместо него двух связанных отрезков с длинами  $1/3$ . На следующем шаге та же операция осуществляется для каждого из четырех отрезков, из которых состоит  $S_1$ , и т. д. Получается последовательность ломаных  $S_0, S_1, \dots$ . В пределе имеется некоторое множество  $S$  с топологической размерностью  $d_f = 1$ , называемое кривой Коха. Для определения фрактальной размерности будем измерять длину  $S$  с помощью линейки с переменным масштабом  $\varepsilon_n = (\frac{1}{3})^n, n = 0, 1, \dots$ . Тогда  $N(\varepsilon_n) = 4^n$ . По формуле (1.2) имеем  $d_H = \ln 4 / \ln 3$ . В данном случае  $D = 2$  и, как и раньше, имеет место неравенство (1.3).

*Прокладка Серпинского* (Sierpinski gasket, фиг. 3). Пусть  $S_0$  — множество точек внутри равностороннего треугольника с единичным ребром. Проведем в этом треугольнике медианы. Они делят  $S_0$  на четыре равносторонних треугольника с длиной ребра  $1/2$ . Вырежем из  $S_0$  точки, попавшие во



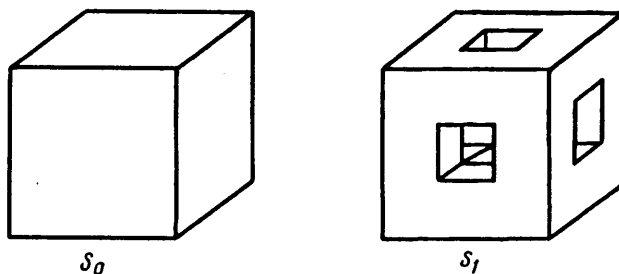
Фиг. 3

внутренний треугольник. Полученное множество обозначим  $S_1$ . На следующем шаге ту же операцию осуществим для каждого из трех треугольников, входящих в  $S_1$ . В результате имеем убывающую последовательность замкнутых множеств в евклидовой плоскости  $S_0 \supset S_1 \supset S_2 \supset \dots$ . Полагая, по определению,  $S$  — пересечение множеств  $S_n$ . Тогда  $S$  — множество с топологической размерностью  $d_f = 1$ .

Для вычисления фрактальной размерности заметим, что в формуле (1.2) можно рассматривать покрытия не только кубами, но и шарами, симплексами и т. д. — любыми подобными фигурами с характерным размером  $\varepsilon$ . При этом результат (1.2) по-прежнему будет иметь место. Рассмотрим покрытия  $S$  равносторонними треугольниками с длиной ребра  $\varepsilon_n = (\frac{1}{3})^n, n = 0, 1, \dots$ . Легко видеть, что  $N(\varepsilon_n) = 3^n$ . По формуле (1.2) получаем  $d_H = \ln 3 / \ln 2$ , и опять имеет место неравенство (1.3).

*Губка Серпинского* (фиг. 4). Пусть  $S_0$  — единичный куб.  $S_1$  получается из  $S_0$  вырезанием квадратных отверстий с длиной ребра  $1/3$ . Затем та же процедура применяется к 20 кубам, слагающим  $S_1$ , и т. д.  $S$  — пересечение множеств  $S_n$ . Это пространственный фрактал с топологической размерностью  $d_f = 2$  и фрактальной размерностью  $d_H = \ln 20 / \ln 3$ . Имеет место (1.3).

Все перечисленные фракталы получаются в результате применения на каждом шаге некоторой однотипной процедуры (генератора), которая задается определенной геометрической фигурой. В силу этого такие фракталы называются регулярными геометрическими фракталами. Природные объекты редко описываются регулярными геометрическими фракталами. Однако для таких фракталов можно осуществить точные расчеты, представляющие интерес для практики.



Фиг. 4

Кроме того, модифицируя процедуру построения фрактала (чередую два или большее количество генераторов), можно построить более реалистичные объекты).

Отметим, что при выполнении неравенств (1.3) фрактал имеет нулевую меру Лебга в объемлющем пространстве.

Изучая приведенные примеры, легко убедиться, что все эти фракталы являются локально самоподобными. Свойство локального самоподобия вообще весьма распространено для регулярных геометрических фракталов и иногда его включают в определение фрактала. Для случайных или стохастических фракталов, для которых локальное самоподобие в строгом смысле не имеет места, считается, что самоподобие реализуется в обобщенном усредненном смысле.

Локальное самоподобие означает в математическом плане следующее. Для фрактала  $S$  существует некоторое число  $\lambda$  ( $0 < \lambda < 1$ ) и некоторое всюду плотное подмножество  $S_\lambda$ , называемое множеством  $\lambda$ -центров, такое, что для всякой точки  $a \in S_\lambda$  существует окрестность точки  $a$  в  $S$ , преобразующаяся в себя при отображении подобия

$$x \mapsto \lambda(x - a) + a$$

Для канторова множества  $\lambda = 1/3$ ,  $S_\lambda$  — множество всех концов отрезков. Для кривой Коха  $\lambda = 1/3$ ,  $S_\lambda$  — множество всех вершин на кривой. Для фракталов из двух последних примеров  $\lambda = 1/3$ ,  $S_\lambda$  — множество вершин треугольников и кубов соответственно.

Множество  $\lambda$ -центров не исчерпывает всего фрактала. В [8] показано, что точки фрактала, не являющиеся  $\lambda$ -центрами, также образуют всюду плотное множество.

Наличие  $\lambda$ -центров позволяет определить дифференцирование на фрактале.

Действительно, пусть  $f$  — некоторая функция на фрактале,  $a$  —  $\lambda$ -центр и пусть  $x$  — некоторая точка из достаточно малой окрестности точки  $a$ . Тогда для  $\alpha > 0$  можно определить дробную производную от  $f$  в направлении  $h = x - a$  как предел (если он существует)

$$D_h^\alpha f(a) = \lim_{n \rightarrow +\infty} \frac{f(a + \lambda^n h) - f(a)}{\lambda^{n\alpha} \|h\|^\alpha} \quad (1.4)$$

Введем понятие химической размерности фрактала.

Пусть  $a_{in}, a_{fin}$  — две точки на фрактале,  $L_\varepsilon(a_{in}, a_{fin})$  — длина наикратчайшей ломаной, соединяющей  $a_{in}$  и  $a_{fin}$  так, что вершины ломаной принадлежат фракталу, а отрезки ломаной не превышают  $\varepsilon$ . Если при  $\varepsilon \rightarrow 0$  имеется асимптотика

$$L_\varepsilon(a_{in}, a_{fin}) = \text{const } \varepsilon^{1-d_c}$$

то величина  $d_c$  называется химической размерностью фрактала. Легко видеть, что для канторова множества химическая размерность не определена, для кривой Коха  $d_c = d_H = \ln 4 / \ln 3$ , а для остальных примеров  $d_c = 1$ .

В определении (1.4) имеет смысл использовать  $\alpha \leq d_c$ , как показывает следующая лемма.

*Лемма.* Пусть  $f$  — функция на фрактале  $S$ , для которой верхняя грань отношений

$$|f(x) - f(y)| / \|x - y\|^\alpha$$

ограничена некоторой константой. Тогда если  $\alpha > d_c$ , то  $f = \text{const}$ .

Действительно, построим ломаную с вершинами  $a_i$  на фрактале с длинами отрезков не более  $\varepsilon$  и с крайними точками  $a_0 = x$  и  $a_n = y$ . Тогда

$$|f(x) - f(y)| \leq \sum_{i=0}^{n-1} |f(a_{i+1}) - f(a_i)| \leq \text{const } \varepsilon^{\alpha-d_c}$$

Если  $\alpha > d_c$ , то отсюда при  $\varepsilon \rightarrow 0$  получаем  $f(x) = f(y)$ .

В евклидовых пространствах  $d_c = 1$  и имеет смысл рассматривать производные (1.4) с  $\alpha \leq 1$ . На фракталах с нетривиальной химической размерностью возможности дифференциального исчисления увеличиваются.

Кроме размерностей  $d$  и  $d_c$  для фракталов можно определить много других размерностей. Заметим, например, что для  $\beta > 0$  при интегрировании по фракталу функции  $r^\beta$ , где  $r$  — расстояние от выбранной точки фрактала, будет иметь место асимптотика

$$\int_{r \leq R} r^\beta d\mu_H \sim \text{const} \cdot R^{\beta+d(\beta)} \quad (1.5)$$

Здесь  $d(0) = d_H$ , а при  $\beta > 0$  формула (1.5) определяет в общем случае целое семейство размерностей  $d(\beta)$ .

2. При использовании фрактальной геометрии для описания пористых материалов в принципе возможны следующие модели: 1) фрактал — поровое пространство, 2) фрактал — скелет породы, 3) фрактал — поверхность скелета породы, 4) фрактал — система трещин в пористой матрице.

В силу того что фрактал имеет нулевую меру Лебега в объемлющем пространстве, модель 1 может использоваться для описания материалов с пористостью, близкой к нулю, а модель 2 — для описания материалов с пористостью, близкой к единице.

Равенство нулю меры Лебега фрактала часто вызывает вопрос о том, как можно использовать такой математический образ для описания природных объектов — ведь все тела в природе имеют ненулевой объем! При этом забывают, что механика всегда имеет дело с моделями, которые в той или иной степени отражают действительность, но никогда с ней не совпадают. Несомненно, что природные объекты можно считать фрактальными только при определенных огрублениях и в определенном диапазоне масштабов.

Если применять модели 1—4 к реальным пористым материалам, необходимо уметь определять соответствующие фрактальные размерности. Существуют прямые и непрямые методы определения  $d_H$ . Прямые методы связаны с непосредственным экспериментальным изучением геометрического строения объекта. Непрямые методы связаны с исследованием процессов в данном объекте (диффузии, фильтрации, электропроводности и проч.), когда выводятся и решаются некоторые модельные уравнения с феноменологическими коэффициентами, полученные аналитические или численные решения сравниваются с экспериментальными данными и неизвестные параметры подбираются, исходя из наилучшего соответствия теории и эксперимента.

Широкие возможности прямого экспериментального определения  $d_H$  представляет анализ рассеяния разных видов излучения (см. обзоры в [9, 10]). В принципе возможно сканирование природных объектов электромагнитным излучением (в разных участках спектра), электронами и нейтронами.

В основе этого метода лежит простой факт, что при рассеянии волны с волновым вектором  $k$  и длиной  $L$  на фрактале  $S$  амплитуда рассеяния  $A$  волны не зависит от деталей строения фрактала на масштабах, много меньших  $L$ . Поэтому данная амплитуда рассеяния совпадает с амплитудой рассеяния на объекте  $S(L)$ , полученном из  $S$  сглаживанием на масштабах, меньших  $L$

$$A(k, S) = A(k, S(L)) \quad (2.1)$$

Если вычислить дифференциальное сечение рассеяния в направлении  $k/|k|$ , то из-за соотношения (2.1) возникает характерная зависимость от частоты волны  $\omega$

$$\sigma \sim \text{const} + \text{const} \omega^\beta$$

где  $\beta$  зависит от  $d_H$ . Таким образом, измеряя сечение  $\sigma$ , можно найти  $d_H$ .

Другой метод прямого определения фрактальной размерности основан на явлении адсорбции. Если данная фрактальная поверхность (модель 3) адсорбирует молекулы разных веществ с разными характерными размерами  $l$  (например, углеводороды), что число молекул в адсорбированном мономолекулярном слое зависит от  $l$  степенным образом

$$N(l) \sim \text{const} l^{-d_H}$$

Наконец, возможно определение размерности по распределению пор или зерен породы [11]. Действительно, пусть фрактал — поровое пространство (модель 1) и пусть  $p = p(l)$  — плотность распределения зерен породы на единицу объема по характерным размерам  $l$ . При этом мы предположим, что можно таким образом определить размер  $l$ , чтобы величина

$$M = \int_0^{+\infty} l^\beta p(l) dl \quad (2.2)$$

была равна относительному объему, занимаемому породой. По предположению  $M \approx 1$ . Пусть при малых  $l$  удастся выделить асимптотику

$$p(l) \sim p_0 l^{-\alpha} \quad (2.3)$$

Для сходимости интеграла (2.2) необходимо выполнение неравенства  $\alpha < 4$ . Объем, приходящийся на поровое пространство, если покрыть его типовыми фигурами с размерами  $\delta$ , таков:  $V(\delta) = p_0 \delta^{4-\alpha} / (4-\alpha)$ . Отсюда находим  $N(\delta) = p_0 \delta^{1-\alpha} / (4-\alpha)$  и тогда по формуле (1.2) получаем  $d_H = \alpha - 1$ .

Реальное распределение зерен, строго говоря, не может иметь асимптотику (2.3) с  $\alpha > 1$ . При достаточно малых  $l$  функция  $p(l)$  становится равной нулю. Поэтому об асимптотике (2.3) и соответственно о фрактальной геометрии порового пространства можно говорить только в определенном диапазоне масштабов:  $l_{\min} \ll l \ll l_{\max}$ , где  $l_{\min}$  — характерный размер наименьшего зерна,  $l_{\max}$  — характерный размер наибольшего зерна.

О фрактальной геометрии порового пространства с наибольшим основанием можно говорить, когда поровое пространство по происхождению трещиноватого типа (модель 4), так как есть серьезные основания полагать, что процессы разрушения и трещинообразования приводят к фрактальным структурам [12].

Пусть теперь фрактал — скелет породы (модель 2). Тогда можно рассмотреть распределение пор по характерным размерам  $p = p(l)$  и формально повторить предыдущие рассуждения. Конечный результат — опять формула  $d_H = \alpha - 1$ .

Итак, в принципе возможно прямое экспериментальное определение фрактальной размерности. Для задач фильтрации знания размерности оказывается недостаточно и нужно вводить дополнительные феноменологические параметры, характеризующие более тонкие свойства пористых материалов.

3. При изучении движения газов и жидкостей в пористых материалах с фрактальной геометрией можно ожидать особенно интересные результаты, когда фрактальной структурой обладает пространство, по которому движется флюид (модели 1, 4 или модель 3 в случае пленочной фильтрации). В этой области возможны два разных подхода.

Во-первых, можно исследовать движение флюидов во фрактальных сетях капилляров [13]. На этом пути получается ряд точных результатов для регулярных геометрических фракталов. Недостаток такого подхода состоит в том, что регулярные фрактальные сети капилляров весьма сильно отличаются от реальных поровых каналов.

Во-вторых, можно строить феноменологические модели, исходя из общей информации о фрактальной структуре порового пространства, на масштабах, значительно превышающих размеры детальных особенностей строения фрактала [14]. В этом случае теорию естественно строить на основе закона сохранения массы на фрактале

$$\frac{d}{dt} \int_V \rho d\mu_H = - \int_{\Sigma} j_n d\mu_{\Sigma} \quad (3.1)$$

Здесь  $\rho$  — массовая плотность флюида,  $V$  — часть фрактала, ограниченная поверхностью  $\Sigma$  (на фрактале),  $n$  — нормаль к  $\Sigma$ ,  $j_n$  — поток массы через  $\Sigma$ ,  $d\mu_H$  — мера Хаусдорфа,  $d\mu_{\Sigma}$  — индуцированная мера на  $\Sigma$ ,  $m$  — аналог пористости. Для того чтобы величина

$$\int_V \rho d\mu_H$$

имела размерность массы с учетом того, что  $[d\mu_H] = L^{d_H}$ ,  $[\rho] = ML^{-3}$ , необходимо, чтобы величина  $m$  имела размерность  $[m] = L^{\varepsilon}$ ,  $\varepsilon = D - d_H$  — дефект пространства. При  $\varepsilon = 0$  величина  $m$  превращается в обычную пористость.

Как задать выражение для  $j$ , т. е. как обобщить закон Дарси для фрактала? Если пренебречь гравитацией, то представляется естественным постулировать

$$j_n = - \frac{k}{\mu} \rho D_n^d \rho \quad (3.2)$$

Здесь  $\mu$  — сдвиговая вязкость,  $k$  — величина, аналогичная проницаемости, которая для обеспечения правильной размерности  $j_n$  должна иметь размерность  $[k] = L^{\varepsilon + d_c + 1}$ . При  $d_c = 1$  формула (3.2) приводит к обычному по форме закону Дарси.

Рассмотрим цилиндрически-симметричное ( $D = 2$ ) или сферически-симметричное ( $D = 3$ ) течение флюида, когда все функции зависят от  $t$  и  $r$ ,  $r$  — расстояние от центра симметрии. Строго говоря, фрактальные пористые среды не допускают непрерывной группы симметрий, однако можно ожидать существование симметричных в некотором осредненном смысле полей  $\rho$  и  $p$  на достаточно больших масштабах. Из уравнения (3.1) следует

$$\frac{d}{dt} \int_{r_0 \leq r \leq r_1} \rho d\mu_H = \int_{r=r_0} j_n d\mu_{\Sigma} - \int_{r=r_1} j_n d\mu_{\Sigma}$$

что с учетом (3.2) приводит к уравнению

$$m \frac{\partial \rho}{\partial t} = r^{-(d_H-1)} \frac{\partial}{\partial r} \left( \frac{k}{\mu} r^{d_H-d_c} \rho \frac{\partial p}{\partial r} \right) \quad (3.3)$$

Для этого уравнения можно получить ряд аналитических решений, которые можно сравнивать с экспериментом. Так, при постоянном  $k$  для

изотермического процесса ( $p = p(\rho), \mu = \mu(\rho)$ ) из (3.3) можно найти стационарное решение, неявное относительно  $\rho$

$$P = C_1 r^{1-d_H+d_c} + C_2, \quad P = P(\rho) = \int \frac{\rho d\rho}{\mu}$$

Можно стандартным образом найти автомодельные решения уравнения (3.3). Обратимся теперь к модели трещиновато-пористой среды с фрактальной геометрией трещин [14]. В этом случае уравнение (3.1) нужно заменить системой

$$\begin{aligned} \frac{d}{dt} \int_V m_1 \rho_1 d\mu_H &= - \int_{\Sigma} j_n d\mu_{\Sigma} + \int_V q d\mu_H \\ \frac{d}{dt} \int_V m_2 \rho_2 d\mu_H &= - \int_V q d\mu_H \end{aligned} \quad (3.4)$$

Здесь  $\rho_1$  — плотность флюида в трещинах,  $\rho_2$  — плотность флюида в матрице,  $m_1$  — параметр с размерностью  $L^t$ , характеризующий фрактальную систему трещин,  $m_2$  — пористость матрицы,  $q$  — переток массы от пористых блоков к трещинам.

Рассмотрим симметрическое течение  $\rho_i = \rho_i(t, r), i = 1, 2$ . При переходе от интегральных уравнений (3.4) к дифференциальным необходимо задать выражение для  $q$ . Его естественно выбрать в виде

$$q = \frac{\beta}{\mu_1} (\rho_2 p_2 - \rho_1 p_1) r^{\gamma}$$

где  $\beta$  — феноменологический коэффициент,  $p_1$  и  $p_2$  — давление в трещинах и матрице соответственно,  $\mu_1 = \mu(\rho_1)$  — сдвиговая вязкость,  $\gamma$  — некоторый безразмерный параметр, характеризующий детали строения фрактала. Тогда для постоянных параметров  $m_1, m_2$  и  $k$  из (3.4) системы (3.4) получается система дифференциальных уравнений

$$\begin{aligned} \frac{\partial \rho_1}{\partial t} &= \frac{k}{m_1} r^{-(d_H-1)} \frac{\partial}{\partial r} \left( \mu_1^{-1} r^{d_H-d_c} \rho_1 \frac{\partial p_1}{\partial r} \right) + \frac{\beta}{\mu_1 m_1} (\rho_2 p_2 - \rho_1 p_1) r^{\gamma} \\ \frac{\partial \rho_2}{\partial t} &= \frac{\alpha_d \beta}{\alpha_d m_2 \mu_1} (\rho_1 p_1 - \rho_2 p_2) r^{-\epsilon+\gamma}, \quad \alpha_d = 2\pi^{d/2} \Gamma^{-1} \left( \frac{d}{2} \right) \end{aligned} \quad (3.5)$$

При  $\gamma = 0, \epsilon = 0, d_c = 1$  модель (3.5) сводится к классической модели трещиновато-пористой среды [15, 16].

В работе [14] исследовался случай, когда  $\gamma = -\epsilon, d_c = 1$ .

В ряде простых ситуаций система (3.5) допускает точные решения, по которым из эксперимента можно находить феноменологические параметры модели [14]. В частности, решение задачи о кривой восстановления давления для жидкости в модели с  $\gamma = -\epsilon, d_c = 1$  дает асимптотику

$$\Delta p \sim C_1 t^{\tau} - C_2 + C_3 t^{2\tau-1}, \quad \tau = (2 - d_H)/(4 - d_H)$$

Поэтому нестационарные скважинные исследования могут позволить найти фрактальную размерность трещин призабойной зоны.

Уравнения (3.3), (3.5) позволяют решать содержательные задачи теории фильтрации с учетом фрактальной геометрии (модели 1 и 4). Возможны различные уточнения и модификации изложенной теории, поскольку развивается вся теория фракталов вообще. Нужно определенное время, чтобы осознать все выводы фрактальной концепции, сравнить их с экспериментом, определить значения феноменологических параметров. Несомненно, что деятельность в этом направлении представляет большой научный и практический интерес.



## СПИСОК ЛИТЕРАТУРЫ

1. Mandelbrot B. B. Les objets fractals: Forme, Hasard et Dimension. Paris: Flammarion, 1975. 192 p.
2. Mandelbrot B. B. Fractals: Form, Chance and Dimension. San Francisco: Freeman, 1977. 365 p.
3. Mandelbrot B. B. The fractal geometry of nature. N. Y.: Freeman, 1983. 468 p.
4. Федер Е. Фракталы. М.: Мир, 1991. 260 с.
5. Куратовский К. Топология. Т. 1. М.: Мир, 1966. 594 с.
6. Rogers C. A. Hausdorff measures. Cambridge: Univ, Press, 1970. 179 p.
7. Бурбаки Н. Элементы математики. Кн. 6. Меры, интегрирование мер. М.: Наука, 1967. 396 с.
8. Динариев О. Ю., Мосолов А. Б. О свойстве самоподобия для подмножеств  $R^n$ //Современный анализ и его приложения. Киев: Наук. думка, 1989. С. 44—48.
9. Фракталы в физике. М.: Мир, 1988. 670 с.
10. Смирнов Б. М. Физика фрактальных кластеров. М.: Наука, 1991. 134 с.
11. Мосолов А. Б., Динариев О. Ю. Фракталы, скейлы и геометрия пористых материалов//Журн. техн. физики. 1988. Т. 58. Вып. 2. С. 233—238.
12. Мосолов А. Б., Динариев О. Ю. Автомодельность и фрактальная геометрия разрушения//Проблемы прочности. 1988. № 1. С. 3—7.
13. Adler P. M. Transport processes in fractals//Intern. J. Multiphase Flow. 1985. V. 11. № 1. P. 91—108; № 2. P. 213—239, 241—254.
14. Динариев О. Ю. Фильтрация в трещиноватой среде с фрактальной геометрией трещин//Изв. АН СССР. МЖГ. 1990. № 5. С. 66—70.
15. Баренблатт Г. И., Желтов Ю. П. Об основных уравнениях фильтрации однородных жидкостей в трещиноватых породах//Докл. АН СССР. 1960. Т. 132. № 3. С. 545—548.
16. Баренблатт Г. И., Желтов Ю. П., Кочина И. И. Об основных представлениях теории фильтрации однородных жидкостей в трещиноватых породах//ПММ. 1960. Т. 24. Вып. 5. С. 852—864.

Москва

Поступила в редакцию  
21.I.1992